



# اولین همایش ملی معدن و علوم وابسته

## اسفند ۱۳۸۸

دانشگاه آزاد اسلامی  
 واحد طبس

رخساره‌ها، محیط رسوی و چینه نگاری سکانسی سازند ایلام

در طاقدیس زیره (فارس ساحلی)

پوریا ستاری<sup>۱</sup> و داود جهانی<sup>۲</sup>

(۱) دستیار علمی دانشگاه پیام نور زاهدان

(۲) عضو هیات علمی گروه زمین شناسی دانشگاه آزاد اسلامی واحد تهران شمال

### چکیده

گروه بنگستان (آلبین - سانتونین) در منطقه فارس ساحلی در بردارنده سازنده‌های کریزی، سروک و ایلام است. سازند ایلام (سانتونین) در برش مورد مطالعه دارای ضخامت ۱۱۷ متر است. بررسی‌های صحرائی و آزمایشگاهی نشان می‌دهد که سازند ایلام در طاقدیس زیره از سه گروه رخساره‌ای، وابسته به محیط‌های دریایی باز (A) - سد (B) و تالاب (C) تشکیل شده است. گروه‌های رخساره‌ای یاد شده در برگیرنده رخساره‌های مادستون آهکی شیل، وکستون بیولکلستی و پکستون رودبیستی (محیط دریایی باز)، رخساره‌های گرینستون بیولونیدی بیولکلستدار (محیط سد) و رخساره‌های پکستون پلونیدی بیولکلستدار، وکستون بیولکلستی (محیط تالاب) هستند. این رخساره‌ها در یک پلانiform کریتنه نوع رمب کم‌شیب نهشته شده‌اند. تغییرات عمودی رخساره‌ها نشان می‌دهد که سازند ایلام و در برش مطالعه شده طاقدیس زیره از یک سکانس رسوی درجه سوم پرونده تشکیل شده است. مرز پایین و بالای این سکانس با سازنده‌های سروک و گروپی، نایپوسنگی نوع ۱ (SB<sub>1</sub>) است.

**واژه‌های کلیدی:** سانتونین - گروه رخساره‌ای - سازند ایلام - طاقدیس زیره - رمب - سکانس

### Microfacies, depositional environment and sequence stratigraphy of the Ilam formation in Zireh anticline (coastal Fars)

P. Satari<sup>1</sup>, DR. D.Jahani<sup>2</sup>

1) Scientific Assistance Payam-e-nor university of Zahedan

2) Department of geology, Islamic Azad university north Tehran branch

### Abstract

The Bangestan Group (Albian - Santonian) in Coastal Fars Area Consists of Kazhdmi, Sarvar and Ilam Formations and its Thickness is 500 Meters. Ilam Formation (Santonion - Campanian) Thickness in This Section is 117 Meters. Field and Microscopia Studies of the Ilam Formation Have Led to recognition of Three Facies Groups Related to Open Marine (A) - Barrier (B) and Lagoon (C) Environments. The mentioned Facies Groups Include Lime Madstone / Shale, Bioclast Lime Wackestone, Rudist Packstone (Open Marin), Intraclast Bioclast Grain Stone, Bioclast Peloid Grainstone (Barrier), Bioclast Peloid Packstone, Bioclast Lime Wackstone (Lagoon). These Facies were Deposited in a Homoclinal Ramp. Vertical Variation of Facies Indicates the Ilam Formation in This section Contains of one Progradational 3rd Order Depositional Sequence. Lower and Upper Contact of This Sequence With Sarrar and Goorpi is 1 type unconFormity (SB<sub>1</sub>).

Keywords: Santonian, Facies Groups, Ilam Formation, Zireh anticline, Ramp, Sequence

### ۱- مقدمه

در سال‌های اخیر به مطالعه تغییرات رخساره‌ها در طاقدیس‌های مختلف مناطق چهارگانه زاگرس (فارس ساحلی - فارس داخلی - خوزستان و لرستان) و بررسی چینه نگاری سکانسی سازنده‌های این حوضه رسوی توجه ویژه‌ای شده است. سازند ایلام به عنوان سنگ مخزن در حوضه رسوی زاگرس از اهمیت خاصی برخوردار است. در این راستا برای بررسی رخساره‌ها و محیط رسوی این سازند، یک برش از یال



# اولین همایش ملی معدن و علوم وابسته

## اسفند ۱۳۸۸

دانشگاه آزاد اسلامی  
واحد طبس

جنوب شرقی طاقدیس زیره انتخاب شده و مطالعات لازم بر روی آن انجام گرفت. این طاقدیس در ۱۰۵ کیلومتری جنوب شرقی شهرستان بوشهر، بین طول‌های جغرافیایی  $55^{\circ}$  و  $51^{\circ}$  تا  $15^{\circ}$  و  $52^{\circ}$  شرقی و عرض‌های جغرافیایی  $28^{\circ}$  و  $28^{\circ}$  تا  $15^{\circ}$  و  $28^{\circ}$  شمالی واقع شده است (شکل ۱). سازند ایلام در برش نمونه در تنگ گراب (بال جنوب باختری کوه سورگاه) متشکل از سنگ آهک‌های رسی ریزدانه خاکستری روشن تا تیره همراه با میان لایه‌های نازک شیل به ضخامت ۱۹۰ متر است (James & Wynd 1965). این سازند در طاقدیس زیره دارای ضخامت ۱۱۷ متر بوده و رخنمون آن از نظر ضخامت و جنس لایه‌ها به دو بخش قابل تقسیم است. بخش زیرین به ضخامت تقریبی ۵۰ متر حاوی لایه‌های نازک سنگ آهک تا آهک شیلی زردرنگ و بخش بالایی شامل سنگ آهک‌های ضخیم لایه شیری زنگ به ضخامت تقریبی ۶۷ متر می‌باشد. مرز بین این دو بخش به صورت تدریجی و پیوسته است (شکل ۲). فسیل‌های موجود در بخش زیرین به طور عمده روتالیدهای کوچک، استراکد، هدبزآ و پرآلونولینا بوده و فسیل‌های بخش فوقانی روتالیا، میلیولید، دوکفه‌ها، داسی کلاد (جلپک سبز)، بربیزودا و اکینسوردم هستند. براساس مطالعات فسیل‌شناسی، سن سازند ایلام در این برش سانتونین تعیین شده است (شکل ۳). در این برش مرز پایینی سازند ایلام با سازند سروک یک ناپیوستگی موازی به سن بعد از سنتومانین - تورونین می‌باشد. در محدوده وسیعی از نواحی فارس (ساحلی - داخلی) نشانه‌های فیزیکی محکمی (رسوبات آهن‌دار) از یک زمان خشکی‌زائی عمومی مشاهده می‌شود (شکل ۴) که از سنتومانین تورونین شروع شده و در بعضی نقاط تا دوره ماستریشتن نیز ادامه یافته است. این ناپیوستگی ناحیه‌ای بوده و با تغییرات جهانی سطح آب دریا هم‌خوانی دارد (باغبانی و همکاران ۱۳۸۲). مرز بالایی سازند ایلام با سازند گوری نیز به صورت ناپیوسته است، ولی این ناپیوستگی محلی بوده و تنها سبب حدف بلندی‌های قدیمی در منطقه شده است.

### ۲- بحث

در این کار پس از برداشت‌های صحرائی، تعداد ۶۵ عدد مقطع نازک برداشت و مورد مطالعه میکروسکوپی قرار گرفت. نام‌گذاری سنگ‌های کربناته به روش دانهام (Dunham 1962) انجام گرفته است. در تعیین رخساره‌ها و ارائه مدل رسوبی از منابعی مانند کاروزی (Carozzi 1989) و فلوگل (flugel 1982, 2004) استفاده شده است. چینه‌نگاری سکانسی سازند مورد مطالعه بر پایه اصول چینه نگاری سکانسی امری و مایرز (Emery & Myers 1996)، لاسمی (Lasemi 1995) و لاسمی (Lasemi 1995) انجام شده است. بررسی نهشته سنگ‌های وابسته به سازند ایلام منجر به شناسایی سه گروه رخساره‌ای دریای باز (A)، سد (B) و تالاب (C) به شرح زیر شده است.

### ۱.۲- گروه رخساره‌ای دریای باز (A)

این رخساره‌ها در برش کوه زیره دارای ضخامت زیادی می‌باشند و در قسمت‌های پایینی تا میانی سازند ایلام مشاهده می‌شوند. این رخساره‌ها در قالب سه رخساره دسته‌بندی می‌شوند که به ترتیب مربوط



# اولین همایش ملی معدن و علوم وابسته

## اسفند ۱۳۸۸

دانشگاه آزاد اسلامی  
واحد طبس

به قسمت‌های عمیق، نیمه عمیق تا قسمت‌های میانی دامنه جلویی سد (Forebar) و قسمت‌های ابتدایی دامنه جلویی سد هستند.

### ۱.۱.۲ - رخساره : A<sub>1</sub> Lime Mudstone/ Shale

الوکم‌های این رخساره شامل مقادیر ناچیزی فرامینیفرهای پلانکتونیک از قبیل الگوسترنیا، هدبزلا و هتروهلهکس هستند (شکل ۵). آشفتگی زیستی در داخل زمینه میکریتی (Burrowing) نیز از مواردی است که در این رخساره به چشم می‌خورد.

### ۱.۱.۲ - رخساره : A<sub>2</sub> Bioclast Lime Wackestone

الوکم‌های اصلی این رخساره خرددهای اسکلتی روتالیدهای کوچک (Benthic Foram) و قطعات اکینسودرم می‌باشد (شکل ۶). قطعات رودیست با فراوانی ۲/۵ تا ۵ درصد - خرددهای صدف دوکفهای (دوکفهای ۲/۵ درصد) و فرامینیفرهای پلانکتونیکی مانند الگوسترنیا و هدبزلا (دوکفهای ۳/۵ درصد) نیز در این رخساره مشاهد می‌شود. اندازه دانه‌ها معمولاً بین ۰/۲ تا ۰/۵ میلیمتر است. جانشینی اکسیدآهن در داخل صدف برخی از دوکفهای (اکزوژنیک) و دولومیتی شدن به صورت پراکنده، از فرآیندهای دیاژنزی این رخساره به حساب می‌آید.

### ۱.۱.۲ - رخساره : A<sub>3</sub> Rudist Packstone

این رخساره دارای درصد قابل توجهی خرددهای رودیست (۴۰ تا ۵۰ درصد) می‌باشد (شکل ۷). همچنین درصد ناچیزی خرددهای دوکفهای با فراوانی ۲/۵ درصد، روتالیدهای کوچک (۱ تا ۲ درصد)، الگوسترنیا و هتروهلهکس (۱ تا ۲/۵ درصد) و در حدود یک درصد تکسولارید نیز در این رخساره دیده می‌شود. آلوکم‌های غیر اسکلتی شامل پلوبید با فراوانی ۲/۵ تا ۵ درصد، اینتراکلاست (۲/۵ درصد) و ذرات کوارتز (۱ درصد) می‌باشد. مهم‌ترین فرآیند دیاژنزی این رخساره تبدیل میکریت به میکرواسپار در برخی قسمت‌ها است.

### ۱.۲ - تفسیر رخساره‌های دریایی باز:

حضور فرامینیفرهای پلانکتونیک و فرامینیفرهای بنتیک ساکن قسمت‌های نیمه عمیق دریاهای (روتالید) در داخل یک زمینه میکریتی از مشخصات محیط‌های آرام وابسته به دریاهای باز است که این مسئله در رخساره A<sub>1</sub> با درصد آلوکم‌های ناچیز و رخساره A<sub>2</sub> با آلوکم‌های فراوان تر به خوبی مشخص است. رنگ قهوه‌ای روشن این رخساره‌ها و آشفتگی زیستی، حاکی از حضور اکسیژن در این قسمت‌ها بوده که زندگی موجودات کفزی (بنتیک) نیز به آن وابسته است. رخساره A<sub>3</sub> حاصل نهشته شدن رسوبات در بخش جلویی بارهای رودیستی یا رودیستی - بیوکلستی است. حضور فرامینیفرهای پلازیک و اینتراکلاست نیز این مسئله را تأیید می‌کند.

### ۲.۲ - گروه رخساره‌ای سد (B)

این رخساره نسبت به سایر گروههای رخساره‌ای دارای ضخامت کمتری بوده و در بررس مورد مطالعه در قسمت‌های میانی سازند دیده می‌شود. وجه مشترک تمام این رخساره‌ها وجود سیمان دریابی در بین الوکم‌های آنها است. رخساره‌های  $B_1$  و  $B_2$  در این گروه قرار می‌گیرند.

#### ۱.۲.۲ - رخساره $B_1$ : Intraclast bioclast grain Stone

الوکم‌های اصلی این رخساره، اینتراکلاست با فراوانی ۱۵ تا ۲۰ درصد و خرددهای اسکلتی رودیست ( $3/5$  تا  $7/5$  درصد) و روتالیا ( $5$  تا  $3/5$ ) است (شکل ۸). الوکم‌های اصلی این رخساره، اینتراکلاست با فراوانی ۱۵ تا ۲۰ درصد و خرددهای اسکلتی رودیست ( $3/5$  تا  $7/5$  درصد) گونه‌ای از فرامینیفرهای کفرزی به نام روتالیا  $SP_{22}$  تا  $5$  درصد است. خرددهای اسکلتی دیگری از قبیل بربوزوا ( $3/5$  درصد)، اکینودرم ( $2/5$  درصد)، دای سایکلینا ( $2/5$  درصد)، دو کفه‌ای‌ها ( $3/5$  درصد)، جلبک‌های سبز از خانواده داسی کلاد ( $2/5$  درصد)، دای سایکلینا ( $2/5$  درصد)، میلیولید ( $2/5$  درصد)، استراکد ( $1$  تا  $2$  درصد) و الیگوستئینا ( $1$  تا  $2$  درصد) نیز در این رخساره دیده می‌شود. همچنین پلوبید با فراوانی  $3/5$  درصد، از دیگر الوکم‌های غیراسکلتی رخساره  $B_1$  به شمار می‌آید. اندازه الوکم‌ها معمولاً بین  $1$  تا  $2$  میلی متر است. فرآیندهای دیاژنزی به صورت سیمان حاشیه‌ای هم محور (Syntaxial Cement) در اطراف قطعات اکینودرم و پوشش میکریتی (Micrite Envelop) در اطراف قطعات رودیست و دوکنده‌ای‌ها در این رخساره خود را نشان می‌دهد.

#### ۲.۲.۲ - رخساره $B_2$ : Bioclast peloid GrainStone

الوکم‌های اصلی این رخساره پلوبید با فراوانی ۲۰ تا  $25$  درصد و خرددهای اسکلتی جلبک سبز داسی کلاد با فراوانی  $3/5$  تا  $5$  درصد است (شکل ۹). قطعات وخار اکینودرم ( $2/5$  تا  $5$  درصد)، دو کفه‌ای‌ها ( $2/5$  درصد) روتالیدهای کوچک ( $2/5$  درصد) بربوزوا ( $1$  تا  $2$  درصد)، آرگیوسایکلوس ( $1$  تا  $2$  درصد) کفه‌ای استراکد ( $1$  تا  $2$  درصد) و میلیولید ( $1$  درصد) نیز سایر خرددهای اسکلتی را تشکیل می‌دهند. اندازه الوکم‌ها معمولاً بین  $1/10$  تا  $1/6$  میلیمتر است. سیمان‌های دریابی از نوع موزانیک‌های دروغین (Druzy Mozaiek) و هم بعد (بلوکی) بوده و همچنین در برخی قسمت‌ها ذرات میکریت بهجا مانده (شسته نشده) نیز در بین الوکم‌ها دیده می‌شود.

#### ۳.۲.۲ - تفسیر رخساره‌های محیط سدی

اندازه درشت دانه‌ها در رخساره  $B_1$  و جورشده‌گی تقریبی دانه‌ها در رخساره  $B_2$ ، مشخص کننده اثری از بالای محیط در زمان، رسوب‌گذاری این رخساره‌ها است. اینتراکلاست‌های گرد شده رخساره  $B_1$ ، بیانگر رسوب‌گذاری آنها در محیط‌های دارای جابه‌جایی زیاد، مانند کانال‌های موجود در نواحی جلویی (رو به دریای باز) سد رسوبی است. با توجه به این مسئله که بیشترین درصد خرددهای اسکلتی در رخساره  $B_1$  و رخساره  $A_3$  (دریای باز)، قطعات رودیست می‌باشند، می‌توان حدس زد که در این سازند سد بیوکلستی - رودیستی کوچکی وجود داشته ولي بهدلیل عدم دقیقت در نمونه‌برداری در توالی مورد مطالعه دیده



# اولین همایش ملی معدن و علوم وابسته

## اسفند ۱۳۸۸

نمی‌شود. با توجه به آلوکم‌های اسکلتی و غیراسکلتی رخساره  $B_1$  و  $B_2$  چنین برداشت می‌شود که رخساره  $B_1$  در بخش نزدیک به دریای باز و رخساره  $B_2$  در بخش نزدیک به تالاب محیط سدی نهشته شده‌اند.

### ۳.۲- گروه رخساره‌ای تالاب:

این رخساره‌ها در قسمت فوقانی سازند ایلام در طاقدیس زیره مشاهده می‌شوند. وجه مشترک تمام این رخساره‌ها در صد بالای پلوبید، فرامینیفرهای بنتیک و جلبک‌های سبز داسی کlad در آنها است. دو رخساره  $C_1$  و  $C_2$  در این گروه قرار می‌گیرند.

#### ۳.۲.۱- رخساره $C_1$ : Bioclast Peloid Packstone

اصلی‌ترین آلوکم این رخساره دانه‌های پلوبید با فراوانی ۲۵ درصد است (شکل ۱۰)، آلوکم‌های اسکلتی مختلفی از قبیل قطعات اکینودرم با فراوانی ۵ درصد، خرده‌های داسی کlad (۳/۵ درصد)، قطعات صد دو کفه‌ای‌ها (۳/۵ درصد)، گاستروپود (۳/۵ درصد)، روتالیا<sub>22</sub> (۲/۵ درصد)، آرکیوسایکلوس (۲/۵ درصد)، استراکد (۲ درصد) و دای‌سایکلینا با فراوانی ۱ تا ۲ درصد نیز این پلوبیدها را همراهی می‌کنند. سایر آلوکم‌های غیراسکلتی نیز اینتراکلاست با فراوانی ۵ درصد است. اندازه آلوکم‌ها به طور متوسط بین ۰/۲ تا ۰/۸ میلیمتر است. میکریتی شدن (Micritization) فرامینیفرهای بنتیک، تبدیل میکریت به میکرواسپار و حضور سیمان‌های هم بعد در برخی قسمت‌ها (فضاهای خالی و شکستگی‌ها) از فرآیندهای دیازنزی این رخساره محسوب می‌شود.

#### ۳.۲.۲- رخساره $C_2$ : Bioclast Lime Wackstone

فرامینیفرهای بنتیک (۱۰ تا ۱۵ درصد)، خرده‌های داسی کlad (۷/۵ تا ۱۰ درصد) به همراه پلوبید (۷/۵ درصد) آلوکم‌های اصلی این رخساره را تشکیل می‌دهند (شکل ۱۱). فرامینیفرهای بنتیک از نوع میلیوبیده (۳/۵ درصد)، پرآلنولینا (۲/۵ درصد)، تکستولارید (۲/۵ درصد)، روتالید (۲/۵ درصد) و آرکیوسایکلوس (۲ درصد) هستند. همچنین در حدود ۲/۵ درصد قطعات اکینودرم، ۲/۵ درصد خرده‌های دو کفه‌ای و ۱ تا ۲ درصد کفه استراکد نیز در این رخساره دیده می‌شود. اندازه دانه‌ها بین ۰/۵ تا ۰/۵ میلی‌متر است. سیمان‌هایی از نوع حاشیه‌ای هم محور در اطراف قطعات اکینودرم در این رخساره به‌چشم می‌خورد. تبدیل میکریت به میکرواسپار نیز در برخی نمونه‌ها دیده می‌شود.

#### ۳.۲.۳- تفسیر رخساره‌های محیط تالاب

حضور جلبک‌های سبز فراوان در کنار فرامینیفرهای بنتیک شاخص محیط تالاب نظریه میلیوبیده، تکستولارید، پرآلنولینا و دای‌سایکلینا نشان‌دهنده محیط تالابی است. دانه‌های پلوبید نیز از آلوکم‌های اصلی رخساره‌های تالابی هستند (Wright & Burcette, 1996). گاستروپود از نرم‌ترانی است که بیشتر در محیط‌های تالابی دیده می‌شود (Flugel, 1982). همچنین جنس‌های مختلف و فراوانی جلبک‌های داسی کlad معمولاً در محیط‌های تالابی دیده می‌شود (Flugel, 1982). وجود اینتراکلاست و سیمان‌های هم بعد در برخی قسمت‌های رخساره  $C_1$  نشان دهنده ناآرام بودن تقریبی محیط در این رخساره است.



# اولین همایش ملی معدن و علوم وابسته

## اسفند ۱۳۸۸

### ۴.۳- مدل رسوی

در ارائه مدل رسوی همواره قانون والتر مورد توجه قرار می‌گیرد. طبق قانون والتر رخساره‌هایی که بدون ناپیوستگی فرسایشی و به صورت توالی‌های رسوی پیوسته‌ای بر روی هم قرار گرفته‌اند در زمان تشکیل در کار یکدیگر بوده‌اند. در ناحیه فارس ساحلی برای رخساره‌های وابسته به سازند ایلام مدل‌های رسوی متفاوتی ارائه شده است. لاسمی و شهابی (۱۳۸۲) و لاسمی و طباطبائی (۱۳۸۳) محیط رسوی سازند ایلام در طاقدیس‌های خورموج و کنگان را بررسی نموده و با توجه به دیده شدن لایه‌های آهک دوباره نهشته شده (Calciturbidite) در بین رخساره‌های پلازیک، پلاتفرم کربناته نوع شلف را تعیین کرده‌اند. برش مورده مطالعه (طاقدیس زیره) شواهدی از آهک دوباره نهشته شده یافت نشده است. بررسی رخساره‌ها و محیط رسوی سازند ایلام در این برش، نشان می‌دهد که رخساره‌های یاد شده در یک پلاتفرم کربناته رمپ کم‌شیب (Homoclinal Ramp)، همسان با بخش جنوبی خلیج فارس پدید آمده‌اند (شکل ۱۲).

### ۴.۴- چینه‌نگاری سکانسی:

چینه‌نگاری سکانسی سازند ایلام در برش زیره با توجه به تغییرات عمودی رخساره‌ها و محیط‌های رسوی و نحوه روی هم قرار گرفتن آنها، انجام شده است. بر این اساس مشخص می‌شود که سازند ایلام در برش زیره از یک سکانس رسوی پسروندۀ درجه ۳ تشکیل شده است. مرز پایینی این سکانس با سازند سروک و مرز بالایی آن با سازند گوربی ناپیوستگی نوع ۱ (SB<sub>1</sub>) است. دسته رخساره‌های مربوط به پیشروی آب دریا (TST)، رخساره‌های دریای باز هستند. خداکثر پیشروی سطح آب دریا (MFS) با رخساره مادستون آهکی دریای باز مشخص می‌شود. دسته رخساره‌های ایجاد شده در زمان سکون نسبی آب و همزمان با پایین افتادن سطح آب دریا (HST) نیز در برگیرنده رخساره‌های تالایی است (شکل ۱۳).

### ۴.۵- نتیجه‌گیری:

بررسی سنگ‌های سازند ایلام در برش زیره نشان می‌دهد که رخساره‌های این سازند در سه گروه دریای باز (A)، سد (B) و تالاب (C) نهشته شده‌اند. تغییرات عمودی و جانبی رخساره‌ها و مقایسه آنها با محیط‌های امروزی نشان می‌دهد که رخساره‌های یاد شده در برش مورده مطالعه در پلاتفرم کربناته نوع رمپ کم‌شیب، همسان با بخش جنوبی خلیج فارس نهشته شده‌اند. بررسی چینه‌نگاری سکانسی این سازند منجر به شناسایی یک سکانس رسوی پسروندۀ درجه ۳ به سن سانتونین شده است. مرز پایین و بالای این سکانس ناپیوستگی نوع ۱ (SB<sub>1</sub>) است.

### منابع:

- پایه‌نامه و همکاران. ۱۳۸۳. بررسی تحولات جغرافیایی گذشته در ناحیه فارس و جنوب شرقی خلیج فارس، گزارش زمین‌شناسی شماره ۹۶۰، شرکت ملی نفت ایران (مدیریت اکتشاف).
- لاسمی، د. ۱۳۷۹. رخساره‌ها، محیط رسوی و چینه‌نگاری سکانسی نهشته سنگ‌های پرکامبرین بالایی و بالتوزوئیک ایران. انتشارات سازمان زمین‌شناسی، ۱۸۰، ۱۰ص.

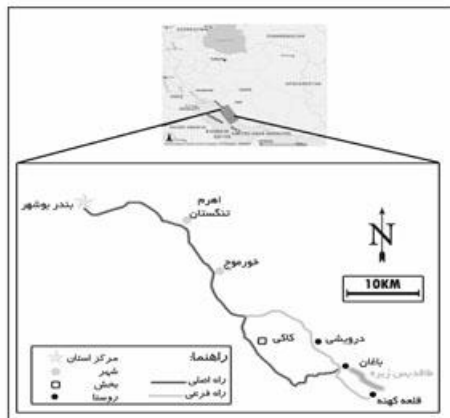


# اولین همایش ملی معدن و علوم وابسته

## اسفند ۱۳۸۸

- لاسمی، دی - شهریابی، ش ۱۳۸۳، رخساره‌ها، محیط‌های رسوبی و چینه‌نگاری سکانسی سازنده‌های سروک و ایلام در طاقدیس‌های خورموج و کاکی، جنوب شرق بوشهر، پایان نامه کارشناسی ارشد، دانشگاه آزاد اسلامی.
- لاسمی، دی - طباطبائی، ب ۱۳۸۳، رخساره‌ها، محیط‌های رسوبی و چینه‌نگاری سکانسی سازنده سروک و ایلام در طاقدیس‌های کوه سیاه و نمک کنگان، جنوب شرق بوشهر، پایان نامه کارشناسی ارشد، دانشگاه آزاد اسلامی.
- James, G.A., Wynd, J.G. (1965) "stratigraphic nomenclature of Iranian Oil Consortium Agreement Area". AAPG bulletin , v.49, pp.2182-2240.
- Dunham, R.J., (1962) "classification of carbonate rocks according to depositional texture." In: W.E.Ham(editor), classification of carbonate rocks AAPG Mem.1, Tulsa, Okla., PP. 108-121.
- Carozzi, A.V., (1989) "Carbonate Rocks Depositional Model. Prentice Hall." New Jersey, 604 P.
- Flügel, E., (1982) "Microfacies Analysis of limestone." Springer, Berlin, 633P.
- Flügel, E., (2004) "Microfacies of Carbonate Rocks, Analysis, Interpretation and Application." Springer-Verlag, Berlin Heidelberg New York, 976P.
- Emery, D., & Myers, K.J., (1996) "sequence stratigraphy." Black Well Scientific, Oxford, 297P.
- Lasemi, Y., (1995) "Platform Carbonate of the Upper Jurassic Mozdoran Formation in the Kope Dagh Basin, NE Iran - Facies, Paleoenvironments and sequences." Sedimentary Geology , No. 99, PP. 151-164.
- Wright, V.P., & Burchette, T.P., (1988) "Carbonate ramps : An introduction in carbonate ramps." Sp. Pub. 149, Geol. Soc. London. 472P.

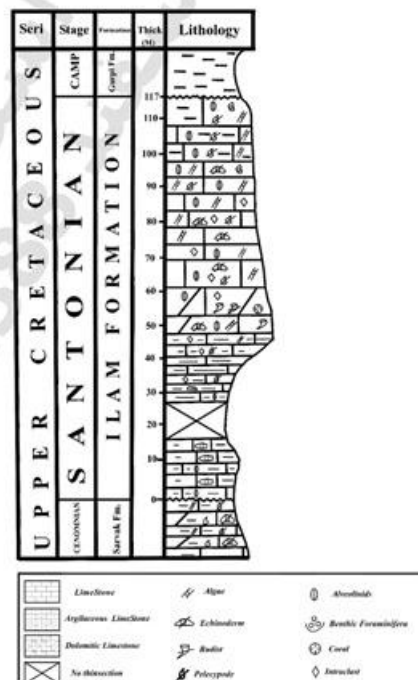
### تصاویر



شکل (۱) موقعیت جغرافیایی و راههای ارتباطی طاقدیس مورد مطالعه (کوه زبره)



شکل (۲) دورنمایی از سازنده‌ایلام در طاقدیس زبره (دید به سمت شمال)



شکل (۲) ستون چینه‌شناسی سازنده‌ایلام در برش زبره



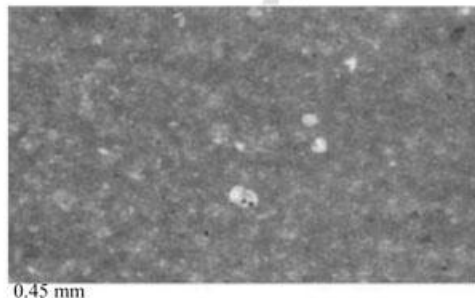
# اولین همایش ملی معدن و علوم وابسته

## اسفند ۱۳۸۸

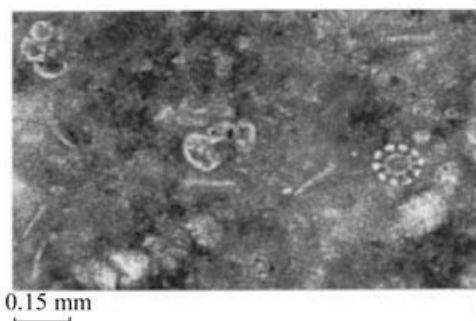
دانشگاه آزاد اسلامی  
واحد طبس



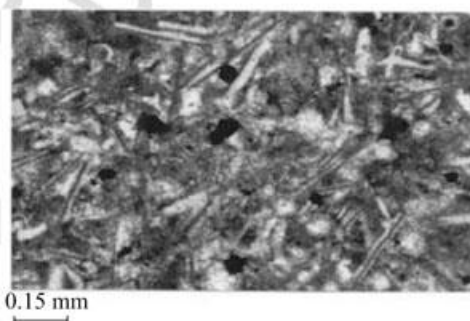
شکل ۴) ندول‌های آهن موجود در سطح فوکانی سازند سروک (مرز سروک و ایلام)



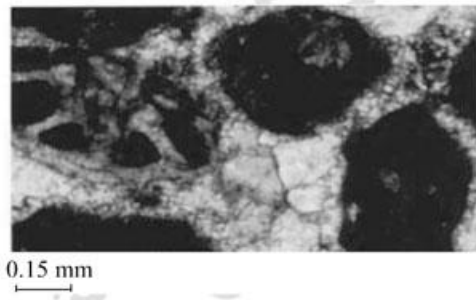
شکل ۵) رخساره A<sub>1</sub>: در این تصویر یک عدد هدبرژلا و دو عدد الیکوستزینا دیده می‌شود



شکل ۶) رخساره A<sub>2</sub>: در این تصویر روتالیدهای کوچک کنه‌های استراکود و خار اکینودرم قابل رویت است



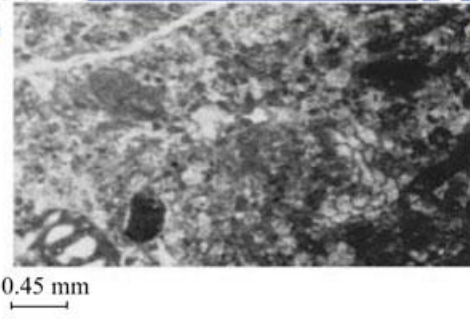
شکل ۷) رخساره A<sub>3</sub>: در این تصویر قطعات خرد شده روتالید رودیستها دیده می‌شود



شکل ۸) رخساره B<sub>1</sub>: در این تصویر یک عدد فسیل روتالیا SP<sub>22</sub> در کنار دانه‌های اینترکلاست دیده می‌شود

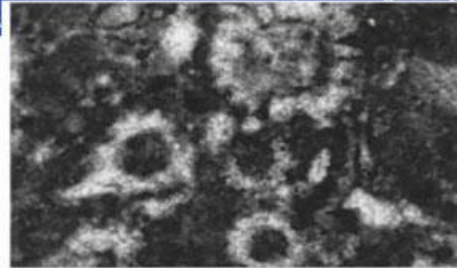


شکل ۹) رخساره B<sub>2</sub>: در این تصویر دانه‌های بلونید در کنار یک عدد فسیل بریوزو (به شدت میکریتی شده) قابل مشاهده است



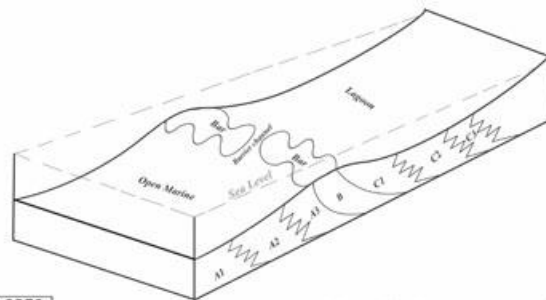
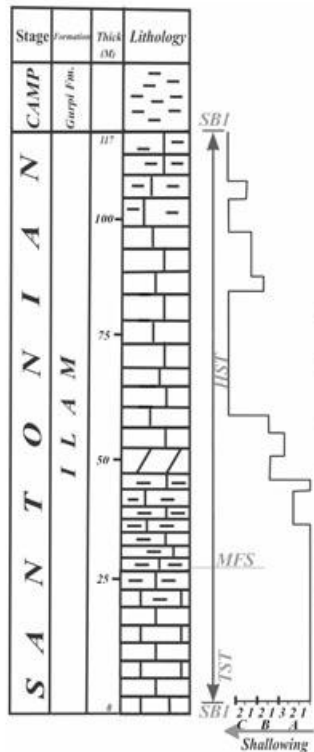
0.45 mm

شکل ۱۰) رخساره  $C_1$ : در این تصویر دانه‌های پلورنید و یک عدد فسیل آرکیوسایکلوس در سمت راست دیده می‌شود



0.15 mm

شکل ۱۱) رخساره  $C_2$ : در این تصویر قطعات دانه‌ی کلادها (جلیک سیز) دیده می‌شوند



شکل ۱۲) مدل رسوی سازند ایلام در طاقدیس زیره

شکل ۱۳) سنون جینه‌گاری سکانسی سازند ایلام در برش زیره  
- نمودار تغییرات سطح آب دریا در مقابل آن کشیده شده است